

# Hermann 作用から誘導される path 群作用の 軌道の幾何学

森本 真弘

大阪市立大学数学研究所

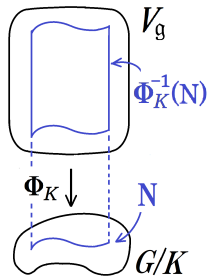
2022 年 3 月 20 日– 21 日  
部分多様体幾何とリー群作用 2021

# イントロダクション

$G/K$ : コンパクト対称空間,  $N$ : 部分多様体 in  $G/K$ .

$N \subset G/K$  を研究する一つの手法として  
あるヒルベルト空間への「持ち上げ」がある.

- $V_{\mathfrak{g}} := L^2([0, 1], \mathfrak{g})$ :  
 $L^2$ -path  $[0, 1] \rightarrow \mathfrak{g}$  全体の成すヒルベルト空間.  
( $\mathfrak{g}$  は  $G$  のリー代数を表す.)
- $\Phi_K := \pi \circ \Phi : V_{\mathfrak{g}} \xrightarrow{\Phi} G \xrightarrow{\pi} G/K$ :  
平行移動写像 (: リーマン沈め込み)  
(Terng-Thorbergsson 1995)
- $\Phi_K^{-1}(N)$ :  $N$  の  $\Phi_K$  による逆像  
⇒  $V_{\mathfrak{g}}$  の固有フレドホルム (PF) 部分多様体 (Terng 1989)  
⇒ ユークリッド空間内の手法がヒルベルト空間  $V_{\mathfrak{g}}$  にも応用できる.



私の目標:  $N \subset G/K$  の問題を  $\Phi_K^{-1}(N) \subset V_{\mathfrak{g}}$  を経由して解決する.

現在:  $N$  と  $\Phi_K^{-1}(N)$  の幾何学的関係について研究中 (今回の講演).

# Contents

- ① 平行移動写像  $\Phi : V_{\mathfrak{g}} \rightarrow G$
- ② 平行移動写像  $\Phi_K = \pi \circ \Phi : V_{\mathfrak{g}} \rightarrow G \rightarrow G/K$
- ③ 平行移動写像の部分多様体幾何学
- ④ 平行移動写像のオースティア性
- ⑤ Hermann 作用の軌道の幾何学
- ⑥ 主結果
- ⑦ シグマ作用の場合への定式化

# Sec. 1 - 平行移動写像 $\Phi : V_{\mathfrak{g}} \rightarrow G$ (1/4)

## 設定

$G$ : 連結コンパクト・リー群 with 両側不変計量,  $\mathfrak{g}$ :  $G$  のリー代数.

## Path 群と Path 空間

- $\mathcal{G} := H^1([0, 1], G)$ : Sobolev  $H^1$ -path  $[0, 1] \rightarrow G$  全体.  
 $\Rightarrow \mathcal{G}$ : ヒルベルト・リー群 (i.e. ヒルベルト多様体 with 可微分な群構造)
- $V_{\mathfrak{g}} := L^2([0, 1], \mathfrak{g})$ :  $L^2$ -path  $[0, 1] \rightarrow \mathfrak{g}$  全体の成すヒルベルト空間

## 定義 (Terng 1995)

$G$  上の平行移動写像は次で定義される:

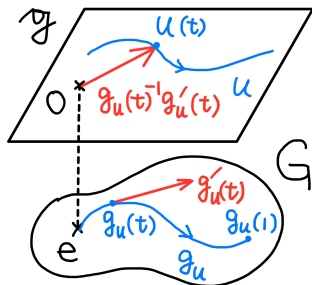
$$\begin{aligned} \Phi : V_{\mathfrak{g}} &\rightarrow G \\ \cup &\quad \cup \\ u &\mapsto \Phi(u) \stackrel{\text{def}}{=} g_u(1). \end{aligned}$$

ここで  $g_u \in \mathcal{G}$  は次の ODE の解:

$$g_u^{-1} g'_u = u, \quad g_u(0) = e.$$

( $g'_u$  は  $g_u$  の弱微分 w.r.t.  $t \in [0, 1]$  を表す.)

$g_u^{-1} : [0, 1] \rightarrow G$  は  $t \mapsto g_u(t)^{-1}$  で定義.)



# Sec. 1 - 平行移動写像 $\Phi : V_g \rightarrow G$ (2/4)

定理 (Terng-Thorbergsson 1995)

- (1)  $\Phi$  はリーマン沈め込み.
- (2)  $N : G$  の閉部分多様体.  
 $\Rightarrow \Phi^{-1}(N) : V_g$  の固有フレドホルム部分多様体.

Recall (Terng 1989)

$V$ : ヒルベルト空間,  $M : V$  の部分多様体.

$M$  は 固有フレドホルム (PF)

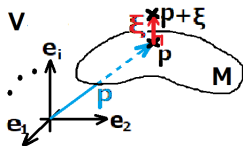
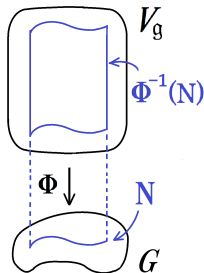
$\Leftrightarrow \bullet M \subset V$  は余次元有限.

def  $\bullet$  終点写像  $Y : T^\perp M \rightarrow V$ ,  $(p, \xi) \mapsto p + \xi$   
 は固有フレドホルム条件 (cf. [Terng]) を満たす.

$\Rightarrow M$  の 第二基本形式  $\alpha$ , 形作用素  $A_\xi$ , 法接続  $\nabla^\perp$   
 が定義される.

$\Rightarrow$  更に,  $A_\xi$  は 自己共役なコンパクト作用素  
 次のような実固有値をもつ ( $M$  の  $\xi$  方向の主曲率):

$$\underbrace{\mu_1 < \mu_2 < \dots < 0}_{\text{重複度有限}} < 0 < \underbrace{\dots < \lambda_2 < \lambda_1}_{\text{重複度有限}}$$



# Sec. 1 - 平行移動写像 $\Phi : V_{\mathfrak{g}} \rightarrow G$ (3/4)

$U$  を  $G \times G$  の閉部分群とする.

## 定義

- $U$  の  $G$  への等長作用を次で定義：

$$(b, c) \cdot a := bac^{-1}, \quad \text{where } (b, c) \in U, a \in G.$$

- $P(G, U) := \Psi^{-1}(U)$  の  $V_{\mathfrak{g}} = L^2([0, 1], \mathfrak{g})$  への等長作用をゲージ変換で定義：

$$g * u := gug^{-1} - g'g^{-1}, \quad \text{where } g \in P(G, U), u \in V_{\mathfrak{g}}.$$

## 命題 (Terng 1995)

次の図式は可換 (ただし  $\Psi$  は  $\Psi(g) = (g(0), g(1))$  で定義):

$$\begin{array}{ccccccc} \mathcal{G} & \supset & P(G, U) & \xrightarrow{\sim} & V_{\mathfrak{g}} & \supset & \Phi^{-1}(N) = P(G, U) * \hat{w} \\ \Psi \downarrow & & \Psi \downarrow & & \Phi \downarrow & & \Phi \downarrow \\ G \times G & \supset & U & \xrightarrow{\sim} & G & \supset & N = U \cdot \exp w \end{array}$$

## 命題 (Terng 1995)

軌道  $N := U \cdot \exp w$  ( $w \in \mathfrak{g}$ ) に対して  $\Phi^{-1}(N) = P(G, U) * \hat{w}$ . ( $\hat{w}$ : const path)

# Sec. 1 - 平行移動写像 $\Phi : V_{\mathfrak{g}} \rightarrow G$ (4/4)

定理 (Terng 1995, Gorodski-Thorbergsson 2002)

次の条件は同値:

- (1) 作用  $U \curvearrowright G$  は **超極**.
- (2) 作用  $P(G, U) \curvearrowright V_{\mathfrak{g}}$  は **超極**.

$$\begin{array}{ccccccc}
 \mathcal{G} & \supset & P(G, U) & \curvearrowright & V_{\mathfrak{g}} & \supset & \hat{t} : \text{a section} \\
 \Psi \downarrow & & \Psi \downarrow & & \Phi \downarrow & & \Phi \downarrow \\
 G \times G & \supset & U & \curvearrowright & G & \supset & \text{expt} : \text{a section}
 \end{array}$$

ここで  $\hat{t}$  は  $t$  に値を持つ定道全体. ( $t$  は  $\mathfrak{g}$  の可換部分代数.)

Recall (Heintze-Palais-Terng-Thorbergsson 1995)

$A$ : コンパクト・リー群,  $X$ : リーマン多様体.  $A$  は  $X$  に等長に作用すると仮定.

$A$ -作用 on  $X$  は **超極**

$\Leftrightarrow \exists \Sigma$ : 全測地的な閉部分多様体 in  $X$  s.t.

def

- (1)  $\Sigma$  は 各  $A$ -軌道と直交する,
- (2)  $\Sigma$  は誘導計量に関して平坦.

このような  $\Sigma$  は  $A$ -作用の**セクション**という.

# Sec. 2 - 平行移動写像 $\Phi_K : V_g \rightarrow G \rightarrow G/K$ (1/3)

## 設定

$G/K$ : コンパクト対称空間,

$\pi : G \rightarrow G/K$ : 自然な射影 (リーマン沈め込み)

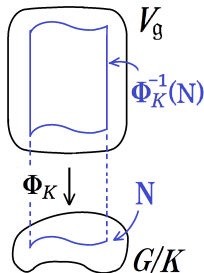
## 定義 (Terng-Thorbergsson 1995)

$G/K$  上の平行移動写像  $\Phi_K$  は次で定義される

$$\Phi_K := \pi \circ \Phi : V_g \xrightarrow{\Phi} G \xrightarrow{\pi} G/K$$

## 命題

- (1)  $\Phi_K$  はリーマン沈め込み.
- (2)  $N$ : 閉部分多様体 in  $G/K$   
 $\Rightarrow \Phi_K^{-1}(N)$ : PF 部分多様体 in  $V_g$ .





# Sec. 2 - 平行移動写像 $\Phi_K : V_{\mathfrak{g}} \rightarrow G \rightarrow G/K$ (2/3)

## 命題

$H$ : 閉部分群 of  $G$ . 等長作用  $H \curvearrowright G/K$  を次で定義:

$$b \cdot aK := (ba)K, \quad b \in H, aK \in G/K.$$

(1) 次の図式は可換:

$$\begin{array}{ccccccc}
 \mathcal{G} & \supset & P(G, H \times K) & \curvearrowright & V_{\mathfrak{g}} & \supset & \Phi_K^{-1}(N) = P(G, H \times K) * \hat{w} \\
 \Psi \downarrow & & \Psi \downarrow & & \Phi \downarrow & & \Phi \downarrow \\
 G \times G & \supset & H \times K & \curvearrowright & G & \supset & \pi^{-1}(N) = (H \times K) \cdot \exp w \\
 p_1 \downarrow & & p_1 \downarrow & & \pi \downarrow & & \pi \downarrow \\
 G & \supset & H & \curvearrowright & G/K & \supset & N = H \cdot (\exp w)K
 \end{array}$$

(2)  $N = H \cdot (\exp w)K$ :  $H$ -軌道 through  $(\exp w)K$  ( $w \in \mathfrak{g}$ ).

$\Rightarrow \pi^{-1}(N) = (H \times K) \cdot \exp w$  および  $\Phi_K^{-1}(N) = P(G, H \times K) * \hat{w}$  が成立. ( $\hat{w} \in V_{\mathfrak{g}}$ : the constant path with value  $w$ .)

# Sec. 2 - 平行移動写像 $\Phi_K : V_{\mathfrak{g}} \rightarrow G \rightarrow G/K$ (3/3)

定理 (Terng1995, Heintze-Palais-Terng-Thorbergsson1995,  
Gorodski-Thorbergsson2002)

次の条件は同値：

- (1) 作用  $H \curvearrowright G/K$  は **超極**,
- (2) 作用  $H \times K \curvearrowright G$  は **超極**,
- (3) 作用  $P(G, H \times K) \curvearrowright V_{\mathfrak{g}}$  は **超極**.

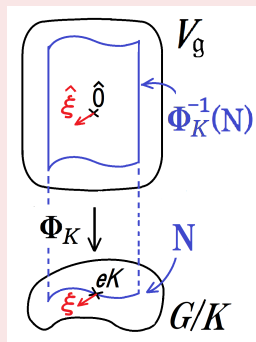
$$\begin{array}{ccccccc}
 \mathcal{G} & \supset & P(G, H \times K) & \curvearrowright & V_{\mathfrak{g}} & \supset & \hat{t} : \text{a section} \\
 \Psi \downarrow & & \Psi \downarrow & & \Phi \downarrow & & \Phi \downarrow \\
 G \times G & \supset & H \times K & \curvearrowright & G & \supset & \exp t : \text{a section} \\
 p_1 \downarrow & & p_1 \downarrow & & \pi \downarrow & & \pi \downarrow \\
 G & \supset & H & \curvearrowright & G/K & \supset & \text{Exp } t : \text{a section}
 \end{array}$$

# Sec. 3 - 平行移動写像の部分多様体幾何学 (1/4)

## 問題

$G/K$ : コンパクト対称空間,  $\mathfrak{g} = \mathfrak{k} + \mathfrak{m}$ : 標準分解.

- $N$ : 閉部分多様体 in  $G/K$ .  $eK \in G/K$  を通ると仮定.
- 法ベクトル  $\xi \in T_{eK}^\perp N$  を固定. 水平リフト  $\hat{\xi} \in T_0^\perp \Phi_{G/K}^{-1}(N)$ .



$$\rightsquigarrow \begin{cases} \alpha^{\Phi_K^{-1}(N)} & : \text{第二基本形式} \\ A_{\hat{\xi}}^{\Phi_K^{-1}(N)} & : \text{形作用素} \\ \{\mu = \mu(\xi)\} & : \text{主曲率} \end{cases}$$

$$\rightsquigarrow \begin{cases} \alpha^N & : \text{第二基本形式} \\ A_{\xi}^N & : \text{形作用素} \\ \{\lambda = \lambda(\xi)\} & : \text{主曲率} \end{cases}$$

関係?

## Sec. 3 - 平行移動写像の部分多様体幾何学 (2/4)

定理 (M. 2019) : 第二基本形式

$$\begin{aligned} \forall X, Y \in T_{\hat{0}}\Phi_K^{-1}(N), \\ \alpha^{\Phi_K^{-1}(N)}(X, Y) = \alpha^N \left( \int_0^1 X(t)_m dt, \int_0^1 Y(t)_m dt \right) \\ + \frac{1}{2} \left[ \int_0^1 X(t)_e dt, \int_0^1 Y(t)_m dt \right]^\perp - \frac{1}{2} \left[ \int_0^1 X(t)_m dt, \int_0^1 Y(t)_m dt \right]^\perp \\ + \frac{1}{2} \left[ \int_0^1 X(t) dt, \int_0^1 Y(t) dt \right]^\perp - \left( \int_0^1 \left[ \int_0^t X(s) ds, Y(t) \right] dt \right)^\perp. \end{aligned}$$

定理 (M. 2019) : 形作用素

$$\begin{aligned} \forall X \in T_{\hat{0}}\Phi_K^{-1}(N), \hat{\xi} \in T_{\hat{0}}^\perp\Phi_K^{-1}(N), \\ A_{\hat{\xi}}^{\Phi_K^{-1}(N)}(X) = A_{\hat{\xi}}^N \left( \int_0^1 X(t)_m dt \right) - \frac{1}{2} \left[ \int_0^1 X(t)_m dt, \hat{\xi} \right]_e + \frac{1}{2} \left[ \int_0^1 X(t)_e dt, \hat{\xi} \right]^\top \\ - \frac{1}{2} \left[ \int_0^1 X(t) dt, \hat{\xi} \right]^\top + \left[ \int_0^t X(s) ds, \hat{\xi} \right] - \left[ \int_0^1 \int_0^t X(s) ds dt, \hat{\xi} \right]^\perp. \end{aligned}$$

## Sec. 3 - 平行移動写像の部分多様体幾何学 (3/4)

Consider

$$\mathfrak{m} = \mathfrak{m}_0 + \sum_{\nu > 0} \mathfrak{m}_\nu, \quad T_{eK}N = \sum_{\lambda} S_\lambda,$$

$$\mathfrak{m}_\nu = \{x \in \mathfrak{m} \mid \text{ad}(\xi)^2 x = -\nu^2 x\}, \quad S_\lambda = \{v \in T_{eK}N \mid A_\xi^N(v) = \lambda v\}.$$

仮定

$N$  は **curvature-adapted** 部分多様体 in  $G/K$ .

$\implies \text{ad}(\xi)^2 : \mathfrak{m} \rightarrow \mathfrak{m}$  は  $T_{eK}N$  を保ち  $A_\xi^N$  と可換.

$$\implies T_{eK}N = \sum_{\lambda} (\mathfrak{m}_0 \cap S_\lambda) + \sum_{\nu > 0} \sum_{\lambda} (\mathfrak{m}_\nu \cap S_\lambda),$$

$$T_{eK}^\perp N = \mathfrak{m}_0 \cap T_{eK}^\perp N + \sum_{\nu > 0} (\mathfrak{m}_\nu \cap T_{eK}^\perp N).$$

定理 (Koike 2002, M. 2020) : 主曲率

$N$  : **curvature-adapted** 部分多様体 in  $G/K$ .

$\implies \Phi_K^{-1}(N)$  の  $\hat{\xi}$  方向主曲率は

$$\{0\} \cup \{\lambda\} \cup \left\{ \frac{\nu}{n\pi} \right\}_{\nu > 0, n \in \mathbb{Z} \setminus \{0\}} \cup \left\{ \frac{\nu}{\arctan \frac{\nu}{\lambda} + m\pi} \right\}_{\nu > 0, \lambda, m \in \mathbb{Z}}.$$

固有関数, 重複度は次の表で与えられる (次頁).

# Sec. 3 - 平行移動写像の部分多様体幾何学 (4/4)

定理 (Koike 2002, M. 2020) : 主曲率

固有値	固有関数基底	重複度
0	$\{x_i^0 \sin n\pi t, y_j^{(0,\lambda)} \cos n\pi t, y_l^{(0,\perp)} \cos n\pi t\}_{n \in \mathbb{Z}_{\geq 1}, \lambda, i, j, l}$	$\infty$
$\lambda$	$\{y_j^{(0,\lambda)}\}_j$	$\dim(\mathfrak{m}_0 \cap S_\lambda)$
$\frac{\nu}{n\pi}$	$\{x_r^{(\nu,\perp)} \sin n\pi t - y_r^{(\nu,\perp)} \cos n\pi t\}_r$	$\dim(\mathfrak{m}_\nu \cap T_{eK}^\perp N)$
$\frac{\nu}{\arctan \frac{\nu}{\lambda} + m\pi}$	$\left\{ \sum_{n \in \mathbb{Z}} \frac{\nu}{n\pi\mu + \nu} (x_k^{(\nu,\lambda)} \sin n\pi t + y_k^{(\nu,\lambda)} \cos n\pi t) \right\}_k$	$\dim(\mathfrak{m}_\nu \cap S_\lambda)$

系

$\Phi_K$  のファイバー  $\Phi_K^{-1}(eK)$  の主曲率は  $\{0\} \cup \left\{ \frac{\nu}{n\pi} \right\}_{\nu > 0, n \in \mathbb{Z} \setminus \{0\}}$ .  
 重複度は順に  $\infty$ ,  $\dim(T_{eK}^\perp N \cap \mathfrak{g}_\nu)$ .

## Sec. 4 - 平行移動写像のオースティア性 (1/4)

## 定義 (Harvey-Lawson 1982)

$M$ : リーマン多様体.  $N$ : 部分多様体 in  $M$ .

$N$  は **オースティア**

$\Leftrightarrow \forall p \in N, \forall \xi \in T_p^\perp N$ , 主曲率全体 ( $A_\xi^N$  の固有値全体) は  
def. 重複度込みで  $(-1)$  倍不変.

## 命題

オースティア部分多様体は極小部分多様体

## 注意

ヒルベルト空間の PF 部分多様体に対しても, オースティア性を定義できる. (オースティア PF 部分多様体)

## Sec. 4 - 平行移動写像のオースティア性 (2/4)

定理 (King-Terng 1993, Heintze-Liu-Olmos 2006)

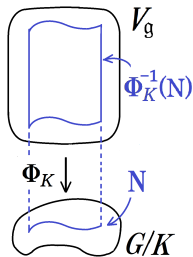
次の条件は同値：

- (1)  $N$  は  $G/K$  の極小部分多様体,
- (2)  $\Phi_K^{-1}(N)$  は  $V_g$  の極小 PF 部分多様体 in  $V_g$ .

### 問題

以下の 2 条件の関係？

- (A)  $N$  は  $G/K$  のオースティア部分多様体,
- (B)  $\Phi_K^{-1}(N)$  は  $V_g$  のオースティア PF 部分多様体.



### 難点

- $N$  が curvature-adapted でなければ主曲率を計算できない.
- $N$  が curvature-adapted であったとしても,  $\Phi_K^{-1}(N)$  の主曲率は複雑.



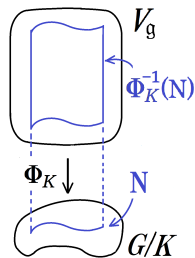
## Sec. 4 - 平行移動写像のオースティア性 (3/4)

### 定理 (M. 2020)

$G/K$  が球面であると仮定.

このとき以下の2条件は同値:

- (A)  $N$  は  $G/K$  のオースティア部分多様体,
- (B)  $\Phi_K^{-1}(N)$  は  $V_g$  のオースティア PF 部分多様体.



### 例

$U/L$ : コンパクト対称対.  $L$ : 連結と仮定

$\mathfrak{u} = \mathfrak{l} + \mathfrak{p}$ : 標準分解,  $\text{Ad} : L \rightarrow SO(\mathfrak{p})$ : イソトロピー表現.

$x \in \mathfrak{p}$  に対して, 軌道  $N(x) := \text{Ad}(L) \cdot x \subset S(\|x\|) \subset \mathfrak{p}$  を考える  
軌道  $N(x)$  が球面  $S(\|x\|) (= G/K)$  のオースティア部分多様体と仮定.  
(そのような  $N(x)$  は 井川-酒井-田崎 2009 により分類済み).

$\Rightarrow$  上の定理より  $\Phi_K^{-1}(N(x))$  は  $V_g$  のオースティア PF 部分多様体.

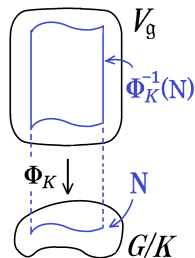
## Sec. 4 - 平行移動写像のオーステリア性 (4/4)

### 定理 (M. 2020)

$G/K$  が球面であると仮定.

このとき以下の2条件は同値:

- (A)  $N$  は  $G/K$  のオーステリア部分多様体,
- (B)  $\Phi_K^{-1}(N)$  は  $V_g$  のオーステリア PF 部分多様体.



### 問題

$G/K$  が球面以外の場合?

### 難点

- $N$  は curvature-adapted でなければ主曲率を計算できない.
- $N$  が curvature-adapted であったとしても,  $\Phi_K^{-1}(N)$  の主曲率は複雑.

⇒  $N$  が Hermann 作用の軌道の場合を考えよう (: next section)

## Sec. 5 - Hermann 作用の軌道の幾何学 (1/5)

### 定義 (Hermann 1960)

$G/K$ : コンパクト型対称空間,  $H$ :  $G$  の対称部分群

i.e.  $\exists \tau: G \rightarrow G$ : 対合的自己同型であって  $G_0^T \subset H \subset G^T$  を満たす.  
 $\Rightarrow$  作用  $H \curvearrowright G/K$  は Hermann 作用と呼ばれる.

### 命題 (Hermann 1962, Heintze-Palais-Terng-Thorbergsson 1995)

Hermann 作用は超極.

実際, 標準分解

$$\mathfrak{g} = \mathfrak{k} + \mathfrak{m} \quad \text{and} \quad \mathfrak{g} = \mathfrak{h} + \mathfrak{p},$$

を考え,  $\mathfrak{m} \cap \mathfrak{p}$  の極大可換部分空間  $\mathfrak{t}$  をとる.

$\Rightarrow \Sigma := \pi(\exp \mathfrak{t})$  は Hermann 作用のセクションとなる.

### 命題 (Goertsches-Thorbergsson 2007)

Hermann 作用の全ての軌道は curvature-adapted 部分多様体である.

## Sec. 5 - Hermann 作用の軌道の幾何学 (2/5)

### 分解 (1/2): ルート空間分解

$\mathfrak{m} \cap \mathfrak{p} (\subset \mathfrak{m})$  の極大可換部分空間  $\mathfrak{t}$  を固定  $\rightsquigarrow \Delta: \mathfrak{t}$  のルート系

$$\mathfrak{k} = \mathfrak{k}_0 + \sum_{\alpha \in \Delta^+} \mathfrak{k}_\alpha, \quad \mathfrak{m} = \mathfrak{m}_0 + \sum_{\alpha \in \Delta^+} \mathfrak{m}_\alpha,$$

$$\mathfrak{k}_\alpha = \{x \in \mathfrak{k} \mid \forall \eta \in \mathfrak{t}, \operatorname{ad}(\eta)^2 x = -\langle \alpha, \eta \rangle^2 x\}.$$

$$\mathfrak{m}_\alpha = \{y \in \mathfrak{m} \mid \forall \eta \in \mathfrak{t}, \operatorname{ad}(\eta)^2 y = -\langle \alpha, \eta \rangle^2 y\}.$$

### 分解 (2/2): 固有空間分解 $\sigma \circ \tau: \mathfrak{g}^{\mathbb{C}} \rightarrow \mathfrak{g}^{\mathbb{C}}$

$\sigma: G \rightarrow G$ : 対合的自己同型であって  $G_0^\sigma \subset K \subset G^\sigma$  を満たす

$\tau: G \rightarrow G$ : 対合的自己同型であって  $G_0^\tau \subset H \subset G^\tau$  を満たす.

$$\mathfrak{g}^{\mathbb{C}} = \sum_{\epsilon \in U(1)} \mathfrak{g}(\epsilon),$$

$$\mathfrak{g}(\epsilon) = \{z \in \mathfrak{g}^{\mathbb{C}} \mid (\sigma \circ \tau)(z) = \epsilon z\}.$$

# Sec. 5 - Hermann 作用の軌道の幾何学 (3/5)

## 命題 (Ohno 2021)

$w \in \mathfrak{t}$  をとる. 軌道  $N := H \cdot (\exp w)K$  を考える. このとき

$$T_{(\exp w)K}N = dL_{\exp w} \left( \sum_{\substack{\epsilon \in U(1) \\ \epsilon \neq 1}} \mathfrak{m}_{0,\epsilon} + \sum_{\alpha \in \Delta^+} \sum_{\substack{\epsilon \in U(1) \\ \langle \alpha, w \rangle + \frac{1}{2} \arg \epsilon \notin \pi\mathbb{Z}}} \mathfrak{m}_{\alpha,\epsilon} \right),$$

$$T_{(\exp w)K}^\perp N = dL_{\exp w} \left( \mathfrak{t} + \sum_{\alpha \in \Delta^+} \sum_{\substack{\epsilon \in U(1) \\ \langle \alpha, w \rangle + \frac{1}{2} \arg \epsilon \in \pi\mathbb{Z}}} \mathfrak{m}_{\alpha,\epsilon} \right),$$

と表せる. ここで  $\mathfrak{m}_{\alpha,\epsilon} := (\mathfrak{g}(\alpha) \cap \mathfrak{g}(\epsilon) + \mathfrak{g}(-\alpha) \cap \mathfrak{g}(\epsilon^{-1})) \cap \mathfrak{m} (\subset \mathfrak{m}_\alpha)$ . 更に, 1 つ目の分解は, 形作用素の族  $\{A_{dL_{\exp w}(\xi)}^N\}_{\xi \in \mathfrak{t}}$  に関する同時固有空間分解である:

$dL_{\exp w}(\mathfrak{m}_{0,\epsilon})$ : 固有値 0 の固有空間,

$dL_{\exp w}(\mathfrak{m}_{\alpha,\epsilon})$ : 固有値  $-\langle \alpha, \xi \rangle \cot(\langle \alpha, w \rangle + \frac{1}{2} \arg \epsilon)$  の固有空間.

ここで,  $\mathfrak{g}(\alpha) := \{z \in \mathfrak{g}^{\mathbb{C}} \mid \forall \eta \in \mathfrak{t}, \text{ad}(\eta)(z) = \sqrt{-1} \langle \alpha, \eta \rangle z\}$  とおいた.

$$\mathfrak{g}^{\mathbb{C}} = \mathfrak{g}(0) + \sum_{\alpha \in \Delta} \mathfrak{g}(\alpha)$$

# Sec. 5 - Hermann 作用の軌道の幾何学 (4/5)

系 (Goertsches-Thorbergsson 2007)

対合が可換 ( $\sigma \circ \tau = \tau \circ \sigma$ ) と仮定. このとき

$$T_{(\exp w)KN} = dL_{\exp w} \left( \mathfrak{m}_0 \cap \mathfrak{h} + \sum_{\substack{\alpha \in \Delta^+ \\ \langle \alpha, w \rangle \notin \pi\mathbb{Z}}} \mathfrak{m}_\alpha \cap \mathfrak{p} + \sum_{\substack{\alpha \in \Delta^+ \\ \langle \alpha, w \rangle + \pi/2 \notin \pi\mathbb{Z}}} \mathfrak{m}_\alpha \cap \mathfrak{h} \right),$$

$$T_{(\exp w)KN}^\perp = dL_{\exp w} \left( \mathfrak{t} + \sum_{\substack{\alpha \in \Delta^+ \\ \langle \alpha, w \rangle \in \pi\mathbb{Z}}} \mathfrak{m}_\alpha \cap \mathfrak{p} + \sum_{\substack{\alpha \in \Delta^+ \\ \langle \alpha, w \rangle + \pi/2 \in \pi\mathbb{Z}}} \mathfrak{m}_\alpha \cap \mathfrak{h} \right),$$

$dL_{(\exp w)}(\mathfrak{m}_0 \cap \mathfrak{h})$  : 固有値 0 の固有空間,

$dL_{(\exp w)}(\mathfrak{m}_\alpha \cap \mathfrak{p})$  : 固有値  $-\langle \alpha, \xi \rangle \cot \langle \alpha, w \rangle$  の固有空間,

$dL_{(\exp w)}(\mathfrak{m}_\alpha \cap \mathfrak{h})$  : 固有値  $\langle \alpha, \xi \rangle \tan \langle \alpha, w \rangle$  の固有空間.

# Sec. 5 - Hermann 作用の軌道の幾何学 (5/5)

系

対合が一致する ( $\sigma = \tau$ ) と仮定. このとき

$$T_{(\exp w)K}N = dL_{\exp w} \left( \sum_{\substack{\alpha \in \Delta^+ \\ \langle \alpha, w \rangle \notin \pi\mathbb{Z}}} \mathfrak{m}_\alpha \right),$$

$$T_{(\exp w)K}^\perp N = dL_{\exp w} \left( \mathfrak{t} + \sum_{\substack{\alpha \in \Delta^+ \\ \langle \alpha, w \rangle \in \pi\mathbb{Z}}} \mathfrak{m}_\alpha \right),$$

$dL_{\exp w}(\mathfrak{m}_\alpha)$  : 固有値  $-\langle \alpha, \xi \rangle \cot \langle \alpha, w \rangle$  の固有空間.

# Sec. 6 - 主結果 (1/6)

## 設定

$G/K$ : コンパクト型対称空間,  $H$ :  $G$  の対称部分群.

$\mathfrak{m} \cap \mathfrak{p}$  の極大可換部分空間  $\mathfrak{t}$  を固定.  $w \in \mathfrak{t}$  をとる.

$$\begin{array}{ccccccc}
 \mathcal{G} & \supset & P(G, H \times K) & \curvearrowright & V_{\mathfrak{g}} & \supset & \Phi_K^{-1}(N) = P(G, H \times K) * \hat{w} \\
 \Psi \downarrow & & \Psi \downarrow & & \Phi \downarrow & & \Phi \downarrow \\
 G \times G & \supset & H \times K & \curvearrowright & G & \supset & \pi^{-1}(N) = (H \times K) \cdot \exp w \\
 p_1 \downarrow & & p_1 \downarrow & & \pi \downarrow & & \pi \downarrow \\
 G & \supset & H & \curvearrowright & G/K & \supset & N = H \cdot (\exp w)K
 \end{array}$$

Hermann 作用  $H \curvearrowright G/K$  は超極 with セクション  $\text{Exp } \mathfrak{t}$ .

$\Leftrightarrow$  等長作用  $H \times K \curvearrowright G$  は超極 with セクション  $\exp \mathfrak{t}$ ,

$\Leftrightarrow$  等長作用  $P(G, H \times K) \curvearrowright V_{\mathfrak{g}}$  は超極 超極 with セクション  $\hat{\mathfrak{t}}$ .



## Sec. 6 - 主結果 (2/6)

定理 (M. 2021):  $P(G, H \times K)$ -軌道の主曲率

軌道  $P(G, H \times K) * \hat{w}$  の  $\hat{\xi} \in \hat{\mathfrak{t}}$  方向主曲率は

$$\{0\} \cup \left\{ \frac{\langle \alpha, \xi \rangle}{-\langle \alpha, w \rangle - \frac{1}{2} \arg \epsilon + m\pi} \mid \begin{array}{l} \alpha \in \Delta^+, \epsilon \in U(1), \\ \langle \alpha, w \rangle + \frac{1}{2} \arg \epsilon \notin \pi\mathbb{Z}, m \in \mathbb{Z} \end{array} \right\} \\ \cup \left\{ \frac{\langle \alpha, \xi \rangle}{n\pi} \mid \begin{array}{l} \alpha \in \Delta^+, n \in \mathbb{Z} \setminus \{0\}, \\ \exists \epsilon \in U(1) \text{ s.t. } \langle \alpha, w \rangle + \frac{1}{2} \arg \epsilon \in \pi\mathbb{Z} \end{array} \right\}$$

重複度は順番に

$$\infty, \quad \dim \mathfrak{m}_{\alpha, \epsilon}, \quad \sum_{\alpha} \dim \mathfrak{m}_{\alpha, \epsilon}$$

## Sec. 6 - 主結果 (3/6)

系

対合が可換 ( $\sigma \circ \tau = \tau \circ \sigma$ ) と仮定.

このとき軌道  $P(G, H \times K) * \hat{w}$  の  $\hat{\xi} \in \hat{\mathfrak{t}}$  方向の主曲率は

$$\begin{aligned} & \{0\} \cup \left\{ \frac{\langle \alpha, \xi \rangle}{-\langle \alpha, w \rangle + m\pi} \mid \alpha \in \Delta^+, \langle \alpha, w \rangle \notin \pi\mathbb{Z}, m \in \mathbb{Z} \right\} \\ & \cup \left\{ \frac{\langle \alpha, \xi \rangle}{-\langle \alpha, w \rangle - \frac{1}{2}\pi + m\pi} \mid \alpha \in \Delta^+, \langle \alpha, w \rangle + \frac{\pi}{2} \notin \pi\mathbb{Z}, m \in \mathbb{Z} \right\} \\ & \cup \left\{ \frac{\langle \alpha, \xi \rangle}{n\pi} \mid \alpha \in \Delta^+, \langle \alpha, w \rangle \in \pi\mathbb{Z}, n \in \mathbb{Z} \setminus \{0\} \right. \\ & \quad \left. \text{or } \alpha \in \Delta^+, \langle \alpha, w \rangle + \frac{\pi}{2} \in \pi\mathbb{Z}, n \in \mathbb{Z} \setminus \{0\} \right\}. \end{aligned}$$

重複度は順番に

$$\infty, \quad \dim(\mathfrak{m}_\alpha \cap \mathfrak{p}), \quad \dim(\mathfrak{m}_\alpha \cap \mathfrak{h}), \quad \dim(\mathfrak{m}_\alpha \cap \mathfrak{p}) + \dim(\mathfrak{m}_\alpha \cap \mathfrak{h})$$

## Sec. 6 - 主結果 (4/6)

系 (Pinkall-Thorbergsson 1990)

対合が一致する ( $\sigma = \tau$ ) と仮定.

このとき軌道  $P(G, K \times K) * \hat{w}$  の  $\hat{\xi} \in \hat{\mathfrak{t}}$  方向の主曲率は

$$\begin{aligned} & \{0\} \cup \left\{ \frac{\langle \alpha, \xi \rangle}{-\langle \alpha, w \rangle + m\pi} \mid \alpha \in \Delta^+, \langle \alpha, w \rangle \notin \pi\mathbb{Z}, m \in \mathbb{Z} \right\} \\ & \cup \left\{ \frac{\langle \alpha, \xi \rangle}{n\pi} \mid \alpha \in \Delta^+, \langle \alpha, w \rangle \in \pi\mathbb{Z}, n \in \mathbb{Z} \setminus \{0\} \right\}. \end{aligned}$$

重複度は順番に

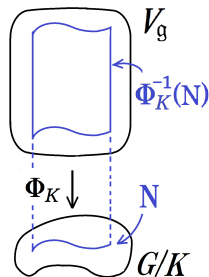
$$\infty, \quad \dim \mathfrak{m}_\alpha, \quad \dim \mathfrak{m}_\alpha$$

# Sec. 6 - 主結果 (5/6)

## 問題

以下の 2 条件の関係？

- (A) 軌道  $N = H \cdot (\exp w)K$  は  $G/K$  の **オーステリア** 部分多様体,
- (B) 軌道  $\Phi_K^{-1}(N) = P(G, H \times K) * \hat{w}$  は  $V_g$  の **オーステリア** PF 部分多様体.



## 定理 I (M. 2021)

ルート系  $\Delta = \Delta(\sigma, \tau)$  が reduced と仮定. このとき (A) と (B) は同値.

## 定理 II (M. 2021)

- (1)  $\sigma = \tau$  と仮定. このとき (A) と (B) は同値.
- (2)  $\sigma \circ \tau = \tau \circ \sigma$  と仮定. このとき (A) ならば (B).
- (3)  $G$  が単純と仮定. このとき (A) ならば (B).

## Sec. 6 - 主結果 (6/6)

### (2) と (3) の逆に対する反例 (M. 2021)

三対

$$(G, K, H) = (SU(p+q), S(U(p) \times U(q)), SO(p+q))$$

を考える. (ルート系  $\Delta = \{e_i, 2e_i\}_i \cup \{e_i \pm e_j\}_{i < j}$  は BC 型.)

$$w := \frac{\pi}{8}(e_1 + \cdots + e_q)$$

とおく. このとき  $N = H \cdot (\exp w)K$  はオースティアで**ない**.

しかし,  $\Phi_K^{-1}(N) = P(G, H \times K) * \hat{w}$  はオースティアとなる.

例

- Hermann 作用のオースティア軌道は, 井川氏, 大野氏により分類済み (主に  $G$  が単純な場合.)
- 彼らの結果を上記定理に適応することで,  $P(G, H \times K)$ -作用のオースティア軌道の例を多数得る.
- これより, 無限次元ヒルベルト空間内には, 等質な無限次元オースティア部分多様体が多数存在することがわかる.

## Sec. 7 - シグマ作用の場合への定式化 (1/11)

### 定義 (Conlon 1964)

$G$  : 連結コンパクト半単純リー群 with 両側不変計量,  $\sigma : G$  の自己同型.

$$G(\sigma) := \{(b, \sigma(b)) \mid b \in G\} \subset G \times G$$

等長作用  $G(\sigma) \curvearrowright G$ ,  $(b, \sigma(b)) \cdot a := ba\sigma(b)^{-1}$  を **シグマ作用** という.

### 注意

シグマ作用は, Hermann 作用の特殊な場合と見做せる:

$$\begin{array}{ccccc}
 G(\sigma) & & \xrightarrow{\text{id}} & & G(\sigma) \\
 \curvearrowright & & & & \curvearrowright \\
 & & G & \xrightarrow{\rho} & (G \times G)/\Delta G \\
 & & \cup & & \cup \\
 & & ab^{-1} & \leftarrow & (a, b)\Delta G
 \end{array}$$

ここで,  $G(\sigma)$  は  $G \times G$  の対称部分群 with 対合  $(b, c) \mapsto (\sigma^{-1}(c), \sigma(b))$ .  
 よって, シグマ作用  $G(\sigma) \curvearrowright G$  は **超極** である.

## Sec. 7 - シグマ作用の場合への定式化 (2/11)

シグマ作用 (超極)  $G(\sigma) \curvearrowright G$  に対して,  
超極作用  $P(G, G(\sigma)) \curvearrowright V_{\mathfrak{g}}$  がゲージ変換により定義される (Sec. 1) :

$$\begin{array}{ccccc}
 \mathcal{G} & \supset & P(G, G(\sigma)) & \curvearrowright & V_{\mathfrak{g}} & \supset & \Phi^{-1}(N) = P(G, G(\sigma)) * \hat{w} \\
 \Psi \downarrow & & \Psi \downarrow & & \Phi \downarrow & & \Phi \downarrow \\
 G \times G & \supset & G(\sigma) & \curvearrowright & G & \supset & N = G(\sigma) \cdot \exp w
 \end{array}$$

### 問題

- (1)  $P(G, G(\sigma))$  軌道の主曲率?
- (2) 次の 2 条件の関係?
  - 軌道  $N = G(\sigma) \cdot \exp w$  は  $G$  のオースティア部分多様体,
  - 軌道  $P(G, G(\sigma)) * \hat{w}$  は  $V_{\mathfrak{g}}$  のオースティア部分多様体.

### 注意

- $G(\sigma)$ -作用は, Hermann 作用の特殊な場合と見做せる (先述).
- しかし,  $P(G, G(\sigma))$ -作用が  $P(G, H \times K)$ -作用の特殊な場合であることは自明でない (別紙).

# Sec. 7 - シグマ作用の場合への定式化 (3/11)

## 定義 (M. 2022)

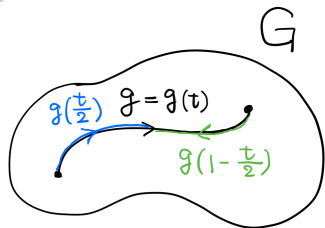
写像  $\Omega : \mathcal{G} = H^1([0, 1], G) \rightarrow H^1([0, 1], G \times G)$  を

$$\Omega(g) = (g(t/2), g(1 - t/2)),$$

で定義. 更に, 写像  $\Upsilon : V_{\mathfrak{g}} \rightarrow V_{\mathfrak{g} \oplus \mathfrak{g}}$  を

$$\Upsilon(u) = \left( \frac{1}{2}u(t/2), -\frac{1}{2}u(1 - t/2) \right).$$

で定義.  $\Upsilon$  を  $V_{\mathfrak{g}}$  から  $V_{\mathfrak{g} \oplus \mathfrak{g}}$  への標準同型と呼ぶ.



## 命題 (M. 2022)

$\Upsilon$  は  $\Omega$  を通して同変かつ, 次の図式は可換:

$$\begin{array}{ccc}
 \mathcal{G} & \xrightarrow{\Omega} & H^1([0, 1], G \times G) \\
 \Psi^G \downarrow & & p^{G \times G} \circ \Psi^{G \times G} \downarrow \\
 G \times G & \xrightarrow{\text{id}} & G \times G
 \end{array}
 \quad \text{and} \quad
 \begin{array}{ccc}
 V_{\mathfrak{g}} & \xrightarrow{\Upsilon} & V_{\mathfrak{g} \oplus \mathfrak{g}} \\
 \Phi \downarrow & & \Phi_{\Delta G} \downarrow \\
 G & \xrightarrow{P} & (G \times G) / \Delta G.
 \end{array}$$

$\Rightarrow$  平行移動写像  $\Phi$  と  $\Phi_{\Delta G}$  を同一視可能.

更に, 作用  $P(G, U) \curvearrowright V_{\mathfrak{g}}$  と  $P(G \times G, U \times \Delta G) \curvearrowright V_{\mathfrak{g} \oplus \mathfrak{g}}$  を同一視可能.



## Sec. 7 - シグマ作用の場合への定式化 (4/11)

### 定理 (M. 2022)

$G$ : 連結コンパクト半単純リー群 with 両側不変計量.

$N$ :  $G$  の **curvature-adapted** 部分多様体,  $e \in G$  を通ると仮定. Fix  $\xi \in T_e^\perp N$ .

$$\mathfrak{g} = \mathfrak{g}_0 + \sum_{\nu > 0} \mathfrak{g}_\nu, \quad T_{eK}N = \sum_{\lambda} S_\lambda,$$

$$\mathfrak{g}_\nu = \{x \in \mathfrak{g} \mid \text{ad}(\xi)^2 x = -\nu^2 x\}, \quad S_\lambda = \{v \in T_{eK}N \mid A_\xi^N(v) = \lambda v\}.$$

このとき,  $\Phi^{-1}(N)$  の  $\hat{\xi}$  方向主曲率は

$$\{0\} \cup \{\lambda\} \cup \left\{ \frac{\nu}{2n\pi} \right\}_{\nu > 0, n \in \mathbb{Z} \setminus \{0\}} \cup \left\{ \frac{\nu}{2 \arctan \frac{\nu}{2\lambda} + 2m\pi} \right\}_{\nu > 0, \lambda, m \in \mathbb{Z}}.$$

と表せる. 重複度は順に  $\infty$ ,  $\dim(\mathfrak{g}_0 \cap S_\lambda)$ ,  $\dim(\mathfrak{g}_\nu \cap T_e^\perp N)$ ,  $\dim(\mathfrak{g}_\nu \cap T_e N)$

### 系 (King-Terng 1993)

$\Phi$  のファイバー  $\Phi^{-1}(e)$  の  $\xi \in \mathfrak{g}$  方向主曲率は

$$\{0\} \cup \left\{ \frac{\nu}{2n\pi} \right\}_{\nu > 0, n \in \mathbb{Z} \setminus \{0\}}$$

で与えられる. 重複度は順に  $\infty$ ,  $\dim \mathfrak{g}_\nu$ .

## Sec. 7 - シグマ作用の場合への定式化 (5/11)

$\mathfrak{g}^\sigma = \{x \in \mathfrak{g} \mid \sigma(x)\}$  の固定部分代数  $\mathfrak{t}$  を固定.

$\rightsquigarrow$  ルート系  $\Delta = \Delta(\sigma)$  が決まる.  $\exp \mathfrak{t}$  は  $G(\sigma)$  作用のセクションとなる.

命題: シグマ作用の軌道の接空間・法空間・主曲率

$w \in \mathfrak{t}$  をとる. 軌道  $N := G(\sigma) \cdot \exp w$  の接空間, 法空間は

$$T_{\exp w} N = d_{\exp w} \left( \sum_{\substack{\epsilon \in U(1)_{\geq 0} \\ \epsilon \neq 1}} \mathfrak{g}_{0,\epsilon} + \sum_{\alpha \in \Delta^+} \sum_{\substack{\epsilon \in U(1) \\ \langle \alpha, w \rangle + \arg \epsilon \notin 2\pi\mathbb{Z}}} \mathfrak{g}_{\alpha,\epsilon} \right),$$

$$T_{\exp w}^\perp N = d_{\exp w} \left( \mathfrak{t} + \sum_{\alpha \in \Delta^+} \sum_{\substack{\epsilon \in U(1) \\ \langle \alpha, w \rangle + \arg \epsilon \in 2\pi\mathbb{Z}}} \mathfrak{g}_{\alpha,\epsilon} \right),$$

と表せる. ここで  $\mathfrak{g}_{\alpha,\epsilon} := (\mathfrak{g}(\alpha) \cap \mathfrak{g}(\epsilon) + \mathfrak{g}(-\alpha) \cap \mathfrak{g}(\epsilon^{-1})) \cap \mathfrak{g} \subset \mathfrak{g}_\alpha$ . 更に, 1 つ目の分解は, 形作用素の族  $\{A_{d_{\exp w}(\xi)}^N\}_{\xi \in \mathfrak{t}}$  に関する同時固有空間分解である:

$d_{\exp w}(\mathfrak{m}_{0,\epsilon})$ : 固有値 0 の固有空間,

$d_{\exp w}(\mathfrak{m}_{\alpha,\epsilon})$ : 固有値  $-\langle \alpha, \xi \rangle \cot(\langle \alpha, w \rangle + \frac{1}{2} \arg \epsilon)$  の固有空間.

ここで,  $\mathfrak{g}(\alpha) := \{z \in \mathfrak{g}^\mathbb{C} \mid \forall \eta \in \mathfrak{t}, \text{ad}(\eta)(z) = \sqrt{-1} \langle \alpha, \eta \rangle z\}$  とおいた.

$$\mathfrak{g}^\mathbb{C} = \mathfrak{g}(0) + \sum_{\alpha \in \Delta} \mathfrak{g}(\alpha)$$

## Sec. 7 - シグマ作用の場合への定式化 (6/11)

定理 (M. 2022):  $P(G, G(\sigma))$ -軌道の主曲率

軌道  $P(G, G(\sigma)) * \hat{w}$  の  $\hat{\xi} \in \hat{\mathfrak{t}}$  方向主曲率は

$$\{0\} \cup \left\{ \frac{\langle \alpha, \xi \rangle}{-\langle \alpha, w \rangle - \arg \epsilon + 2m\pi} \mid \begin{array}{l} \alpha \in \Delta^+, \epsilon \in U(1), \\ \langle \alpha, w \rangle + \arg \epsilon \notin 2\pi\mathbb{Z}, m \in \mathbb{Z} \end{array} \right\} \\ \cup \left\{ \frac{\langle \alpha, \xi \rangle}{2n\pi} \mid \begin{array}{l} \alpha \in \Delta^+, n \in \mathbb{Z} \setminus \{0\}, \\ \exists \epsilon \in U(1) \text{ s.t. } \langle \alpha, w \rangle + \arg \epsilon \in 2\pi\mathbb{Z} \end{array} \right\}$$

重複度は順番に

$$\infty, \quad \dim \mathfrak{g}_{\alpha, \epsilon}, \quad \sum_{\alpha} \dim \mathfrak{g}_{\alpha, \epsilon}$$

## Sec. 7 - シグマ作用の場合への定式化 (7/11)

系

$\sigma^2 = \text{id}$  と仮定.  $\mathfrak{g} = \mathfrak{g}^+ \oplus \mathfrak{g}^- : \sigma$  の固有値  $\pm 1$  による固有空間分解, このとき軌道  $P(G, G(\sigma)) * \hat{w}$  の  $\hat{\xi} \in \hat{\mathfrak{t}}$  方向の主曲率は

$$\begin{aligned} & \{0\} \cup \left\{ \frac{\langle \alpha, \xi \rangle}{-\langle \alpha, w \rangle + 2m\pi} \mid \alpha \in \Delta^+, \langle \alpha, w \rangle \notin 2\pi\mathbb{Z}, m \in \mathbb{Z} \right\} \\ & \cup \left\{ \frac{\langle \alpha, \xi \rangle}{-\langle \alpha, w \rangle - \pi + 2m\pi} \mid \alpha \in \Delta^+, \langle \alpha, w \rangle + \pi \notin 2\pi\mathbb{Z}, m \in \mathbb{Z} \right\} \\ & \cup \left\{ \frac{\langle \alpha, \xi \rangle}{2n\pi} \mid \alpha \in \Delta^+, \langle \alpha, w \rangle \in 2\pi\mathbb{Z}, n \in \mathbb{Z} \setminus \{0\} \right\} \\ & \quad \text{or } \alpha \in \Delta^+, \langle \alpha, w \rangle + \pi \in 2\pi\mathbb{Z}, n \in \mathbb{Z} \setminus \{0\} \}. \end{aligned}$$

重複度は順番に

$$\infty, \quad \dim(\mathfrak{g}_\alpha \cap \mathfrak{g}^+), \quad \dim(\mathfrak{g}_\alpha \cap \mathfrak{g}^-), \quad \dim(\mathfrak{g}_\alpha \cap \mathfrak{g}^+) + \dim(\mathfrak{g}_\alpha \cap \mathfrak{g}^-)$$

## Sec. 7 - シグマ作用の場合への定式化 (8/11)

系 (Terng 1989)

$\sigma = \text{id}$  と仮定. このとき軌道  $P(G, \Delta G) * \hat{w}$  の  $\hat{\xi} \in \hat{\mathfrak{t}}$  方向の主曲率は

$$\{0\} \cup \left\{ \frac{\langle \alpha, \xi \rangle}{-\langle \alpha, w \rangle + 2m\pi} \mid \alpha \in \Delta^+, \langle \alpha, w \rangle \notin 2\pi\mathbb{Z}, m \in \mathbb{Z} \right\} \\ \cup \left\{ \frac{\langle \alpha, \xi \rangle}{2n\pi} \mid \alpha \in \Delta^+, \langle \alpha, w \rangle \in 2\pi\mathbb{Z}, n \in \mathbb{Z} \setminus \{0\} \right\}.$$

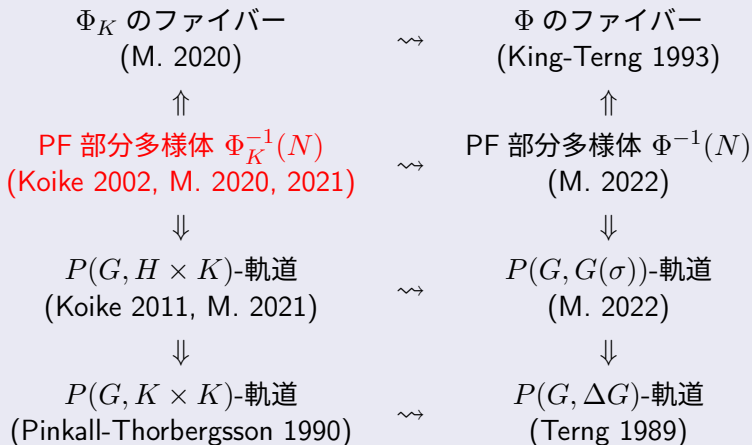
重複度は順番に

$$\infty, \quad \dim \mathfrak{g}_\alpha, \quad \dim \mathfrak{g}_\alpha$$

# Sec. 7 - シグマ作用の場合への定式化 (9/11)

## 系 (まとめ)

Path 空間の標準同型を通して, PF 部分多様体の主曲率に関する既存の結果を統一理解できる.

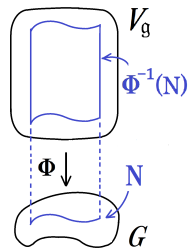


# Sec. 7 - シグマ作用の場合への定式化 (10/11)

## 問題

以下の 2 条件の関係？

- (a)  $N = G(\sigma) \cdot \exp w$  は  $G$  の **オースティア** 部分多様体,  
 (b)  $\Phi^{-1}(N) = P(G, G(\sigma)) * \hat{w}$  は  
 $V_g$  の **オースティア** PF 部分多様体.



## 定理 I' (M. 2022)

ルート系  $\Delta = \Delta(\sigma)$  が reduced と仮定. このとき (a) と (b) は同値.

## 定理 II'' (M. 2022)

- (1)  $\sigma = \text{id}$  と仮定. このとき (a) と (b) は同値.  
 (2)  $\sigma^2 = \text{id}$  と仮定. このとき (a) ならば (b). (Q. 逆は?)  
 (3)  $G$  が単純と仮定. このとき (a) ならば (b). (Q. 逆は?)

- (3) は Hermann 作用の結果が直接適応できないので別途議論が必要.
- (2) と (3) において逆が成り立つかどうかは, 自明でない (次頁).

## Sec. 7 - シグマ作用の場合への定式化 (11/11)

(2) と (3) の逆に対する反例 (M. 2022)

$(G, \sigma) = (SU(2m+1), \text{複素共役})$  とする.

$\Rightarrow$  ルート系  $\Delta = \{e_i, 2e_i\}_i \cup \{e_i \pm e_j\}_{i < j}$  は  $BC$  型.

$w := \frac{\pi}{4}(e_1 + \cdots + e_m)$  とおく.

このとき  $N = G(\sigma) \cdot (\exp w)K$  はオースティアでない.

しかし,  $\Phi^{-1}(N) = P(G, G(\sigma)) * \hat{w}$  はオースティアである.

(この反例は, Hermann 作用の場合のものとは異なる.)

### 例

- シグマ作用のオースティア軌道は,  $\sigma^2 = \text{id}$  のとき, 井川氏により分類済み.
- Cartan 埋め込み ( $\Leftrightarrow e \in G$  を通る  $G(\sigma)$  軌道) であってオースティア部分多様体となるものは木村氏-間下氏らにより分類済み.
- これらの結果を上記定理に適応することで,  $P(G, G(\sigma))$ -作用のオースティア軌道の例を多数得る.
- これより, 無限次元ヒルベルト空間内には, 等質な無限次元オースティア部分多様体が更に多く存在することがわかる.



# Reference I

- [1] C. Gorodski, G. Thorbergsson, *Variationally complete actions on compact symmetric spaces* J. Differential Geom. **62** (2002), no. 1, 39-48.
- [2] O. Goertsches, G. Thorbergsson, *On the geometry of the orbits of Hermann actions*, Geom. Dedicata 129 (2007), 101–118.
- [3] I. S. Gradshteyn, I. M. Ryzhik, *Table of Integrals, Series, and Products*, Translated from the Russian. Translation edited and with a preface by Alan Jeffrey and Daniel Zwillinger. Seventh edition. Elsevier/Academic Press, Amsterdam, 2007.
- [4] R. Harvey and H. B. Lawson, Jr., *Calibrated geometries*, Acta Math., **148** (1982), 47-157.

## Reference II

- [5] E. Heintze, R. Palais, C.-L. Terng, G. Thorbergsson, *Hyperpolar actions on symmetric spaces*, Geometry, topology, & physics, 214-245, Conf. Proc. Lecture Notes Geom. Topology, IV, Int. Press, Cambridge, MA, 1995.
- [6] S. Helgason, *Differential Geometry, Lie groups, and Symmetric Spaces*, Corrected reprint of the 1978 original. Graduate Studies in Mathematics, **34**. American Mathematical Society, Providence, RI, 2001.
- [7] O. Ikawa, T. Sakai, H. Tasaki, *Weakly reflective submanifolds and austere submanifolds*. J. Math. Soc. Japan **61** (2009), no. 2, 437-481.
- [8] O. Ikawa, *The geometry of symmetric triad and orbit spaces of Hermann actions*, J. Math. Soc. Japan **63** (2011), no. 1, 79-136.

## Reference III

- [9] C. King, C.-L. Terng, *Minimal submanifolds in path space*, Global analysis in modern mathematics, 253-281, Publish or Perish, Houston, TX, 1993.
- [10] N. Koike, *On proper Fredholm submanifolds in a Hilbert space arising from submanifolds in a symmetric space*, Japan. J. Math. (N.S.) **28** (2002), no. 1, 61-80.
- [11] A. Kollross, *A classification of hyperpolar and cohomogeneity one actions*, Trans. Amer. Math. Soc. **354** (2002), no. 2, 571-612.
- [12] O. Loos, *Symmetric Spaces. II: Compact Spaces and Classification*. W. A. Benjamin, Inc., New York-Amsterdam 1969.
- [13] M. Morimoto, *On weakly reflective PF submanifolds in Hilbert spaces*, Tokyo J. Math. **44** (2021), no. 1, 103-124.

## Reference IV

- [14] M. Morimoto, *Austere and arid properties for PF submanifolds in Hilbert spaces*, Differential Geom. Appl., **69** (2020) 101613.
- [15] M. Morimoto, *On weakly reflective submanifolds in compact isotropy irreducible Riemannian homogeneous spaces*, Tokyo J. Math. **44** (2021), no. 2, 467-476.
- [16] M. Morimoto, *Curvatures and austere property of orbits of path group actions induced by Hermann actions*, arXiv:2105.12533
- [17] M. Morimoto, *On the geometry of orbits of path group actions induced by sigma-actions*, arXiv:2201.01662.
- [18] S. Ohno, *A sufficient condition for orbits of Hermann actions to be weakly reflective*, Tokyo J. Math. **39** (2016), no. 2, 537-564.
- [19] R. S. Palais, *Morse theory on Hilbert manifolds*, Topology **2** (1963), 299-340.

## Reference V

- [20] R. S. Palais, C.-L. Terng, *Critical Point Theory and Submanifold Geometry*, Lecture Notes in Math., vol 1353, Springer-Verlag, Berlin and New York, 1988.
- [21] U. Pinkall, G. Thorbergsson, *Examples of infinite dimensional isoparametric submanifolds*, Math. Z. **205** (1990), no. 2, 279-286.
- [22] H. Tasaki, *Certain minimal or homologically volume minimizing submanifolds in compact symmetric spaces* Tsukuba J. Math. **9** (1985), no. 1, 117-131.
- [23] C.-L. Terng, *Proper Fredholm submanifolds of Hilbert space*. J. Differential Geom. **29** (1989), no. 1, 9-47.
- [24] C.-L. Terng, *Polar actions on Hilbert space*. J. Geom. Anal. **5** (1995), no. 1, 129-150.

## Reference VI

- [25] C.-L. Terng, G. Thorbergsson, *Submanifold geometry in symmetric spaces*. J. Differential Geom. **42** (1995), no. 3, 665-718.

Thank you very much for your attention !